

(HUANJING KEXUE)

ENVIRONMENTAL SCIENCE

第38卷 第5期

Vol.38 No.5

2017

中国科学院生态环境研究中心 主办



新 施 静 尊 (HUANJING KEXUE)

ENVIRONMENTAL SCIENCE

第38卷 第5期 2017年5月15日

目 次

```
南京工业区夏冬季节二次有机气溶胶浓度估算及来源解析 …………… 刘静达,安俊琳,张玉欣,师远哲,林旭(1733)
南京北郊大气细粒子在人体呼吸系统沉积特性…………… 梁静舒,安俊琳,王红磊,张玉欣,王俊秀,施双双,王潇(1743)
广西北海涠洲岛春季大气颗粒物浓度特征及影响因素 ………………… 高元官,张凯,王体健,陈志明,耿红,孟凡(1753)
神农架大九湖大气中的多环芳烃 ………… 金梦云,邢新丽,柯艳萍,郑煌,胡天鹏,孙焰,丁洋,李绘,张泽洲,祁士华(1760)
沧州市春季 NMHCs 空间分布特征 投菁春,周雪明,张鹤丰,谭吉华,胡京南,柴发合(1769)北京市民用燃煤烟气中气态污染物排放特征 梁云平,张大伟,林安国,马召辉,邬晓东(1775)
生活垃圾堆肥设施 VOCs 排放特征及臭氧生成潜势分析 …… 。 邵珠泽, 郑国砥, 王元刚, 高定, 朱彦莉, 陈同斌, 聂二旗(1783)
运城市道路扬尘化学组成特征及来源分析 …… 武媛媛,李如梅,彭林,端允,王海京,李颖慧,白慧玲,牟玲(1799)
高架道路周边建筑物灰尘重金属污染风险:以常州市为例 …………… 姚静波,王明新,齐今笛,孙向武,张文艺(1807)
上海降水中氢氧同位素特征及与 ENSO 的关系 ……… 董小芳,邓黄月,张峦,朱志鹏,王琳,郑祥民,周立旻(1817) DOC + CDPF 对重型柴油车排放特性的影响 …… 张允华,楼狄明,谭丕强,胡志远(1828)
基于 Monte Carlo 模拟法对水源水体中微囊藻毒素的健康风险评估 ...... 王阳,徐明芳,耿梦梦,黎明,陈耕南(1842)
长江口及邻近海域春夏季有色溶解有机物时空分布特征及主要影响因素 …… 孙语嫣,白莹,苏荣国,石晓勇(1863)
垃圾填埋有色溶解性有机质与铜络合机制 …………… 肖骁,何小松,高如泰,席北斗,张慧,黄彩红,李丹,袁志业(1873)
3 种生物滞留设计对城市地表径流溶解性氮的去除作用 ..... 李立青,胡楠,刘雨情,涂声亮,陈华超(1881)
湿地基质及阴极面积对人工湿地型微生物燃料电池去除偶氮染料同步产电的影响 …… 李薛晓,程思超,方舟,李先宁(1904)
阳极材料对 6 L 微生物燃料电池性能及有机废水处理效果的影响 ··············· 丁为俊,于立亮,陈杰,成少安(1911)
紫外线和次氯酸钠对 Escherichia coli 和 Poliovirus 的消毒作用 ············ 徐丽梅,张崇淼,王晓昌,吉铮,周进宏(1928)
不同沉淀 pH 值条件下制备的水合氧化锆对水中磷酸盐的吸附作用 ······
 ······王星星, 林建伟, 詹艳慧, 张志斌, 邢云青, 姜博汇, 储鸣(1936)
城市污水管网中污染物冲刷与沉积规律 ………………………………………………………………桑浪涛, 石烜,张彤,付博文,金鹏康(1965)
11 种邻苯二甲酸酯在好氧污水处理系统中的归趋 …………………… 周林军, 古文, 刘济宁, 石利利, 徐炎华(1972)
两种不同抑制策略下部分亚硝化系统运行特性比较 ……… 李惠娟,彭党聪,陈国燕,王博,姚倩,卓杨(1997)
温度对 SCSC-S/Fe 复合系统脱氮除磷及微生物群落特性的影响 …… 范军辉,郝瑞霞,朱晓霞,万京京,刘思远,王丽沙(2012)
SCAR 处理城市生活污水的效能及其微生物群落动态分析 …… 杨波,徐辉,冯修平,李方,田晴,马春燕(2021)
喹啉降解菌 Ochrobactrum sp. 的好氧降解特性及其在焦化废水中的生物强化作用 ··········s
 ················徐伟超,吴翠平,张玉秀,张琪,张怡鸣(2030)
锰氧化菌 Arthrobacter sp. HW-16 的锰氧化特性和氧化机制 历文结,薛芷筠,张泽文,何冬兰(2036)温度对海洋厌氧氨氧化菌脱氮效能的影响 周同,于德爽,李津,吴国栋,王骁静(2044)包埋固定化活性污泥脱氮特性与微生物群落分析 许晓毅,尤晓露,吕晨培,王斌,胡碧波(2052)
强化两相污泥高固厌氧消化系统的微生物群落 ………… 曹知平,吴静,左剑恶,王晓璐,王翀,王广启,王凯军,钱易(2059)
三峡库区城乡消落带人工植被恢复土壤放线菌多样性特征 ……………… 秦红,任庆水,杨文航,李昌晓(2065)
川中丘陵区农田源头沟渠玉米季中氧化亚氮排放及其影响因素…… 田琳琳,朱波,汪涛,赵原,董宏伟,任光前,胡磊(2074)
生物炭介导的不同地表条件下土壤 N<sub>2</sub>O 的排放特征 ········· 邹娟, 胡学玉, 张阳阳, 张迪, 陈威, 王向前, 陈窈君, 刘扬(2093)
宿鸭湖沉积物重金属空间分布及潜在生态风险评价 …………… 张鹏岩,康国华,庞博,郭依,何坚坚,秦明周(2125)
腐殖酸活性组分及其比例对紫色潮土中铅形态转化和有效性演变动态的影响 ……… 王青清,蒋珍茂,王俊,魏世强(2136)
紫色水稻土颗粒有机质对重金属的富集特征 …………………………………………… 李秋言,赵秀兰(2146)
生物炭增强黄绵土对西替利嗪的吸附作用 ……………………………………………………………………… 吴志娟,毕二平(2154)
两种木材生物炭对铜离子的吸附特性及其机制 ……   王彤彤,马江波,曲东,张晓媛,郑纪勇,张兴昌(2161)
C, N<sub>4</sub>/BiOBr 复合可见光催化剂的性能及其作用机制 ·············· 鲍玥, 周旻昀, 邹骏华, 史宇滨, 万先凯, 史惠祥(2182)
《环境科学》征稿简则(2020) 《环境科学》征订启事(2035) 信息(1782,1798,1827)
```

运城市道路扬尘化学组成特征及来源分析

武媛媛¹, 李如梅¹, 彭林²,端允¹*, 王海京¹, 李颖慧², 白慧玲¹, 牟玲¹

(1. 太原理工大学环境科学与工程学院, 太原 030024; 2. 华北电力大学环境与化学工程系, 北京 102206)

摘要:采集运城市区道路扬尘及5类单一尘源类样品(盐湖尘、土壤风沙尘、机动车尾气尘、建筑水泥尘和煤烟尘),测定元素、离子和碳质组分含量并与其他城市比较,在此基础上通过富集因子法和潜在生态风险评价法揭示道路扬尘的化学组成特征,同时运用化学质量平衡模型解析道路扬尘的来源. 结果表明,与其他城市相比, Na 和 SO₄² 含量高,Si 含量相对较低是运城市道路扬尘化学组成的主要特征,Na、SO₄² 和 Si 质量分数分别为12.197 0%、8.597 1% 和9.112 3%;富集因子计算结果表明道路扬尘中 Pb、Cu、Cr、V、As、Ni、Na、Zn等元素的来源明显受到人为活动影响;道路扬尘重金属潜在生态风险为强,工业生产、化石燃料燃烧、机动车排放等人为源是影响道路扬尘生态风险等级的重要因素;煤烟尘、建筑水泥尘和机动车尾气尘的化学成分谱与其他城市相似,土壤风沙尘中 Na 和 SO₄² 含量相对较高,运城市特有的盐湖尘的主要化学组分是 Na、SO₄² ,含量分别为30.3%、22.7%;化学质量平衡模型解析结果表明,盐湖尘对道路扬尘贡献最大(53%),其次是土壤风沙尘(21%),机动车尾气尘(8%)、建筑水泥尘(7%)和煤烟尘(5%)的贡献几乎相当.

关键词:道路扬尘; 化学组成; 源成分谱; 化学质量平衡模型; 盐湖尘

中图分类号: X513 文献标识码: A 文章编号: 0250-3301(2017)05-1799-08 DOI: 10.13227/j. hjkx. 201609134

Chemical Compositions and Source Apportionment of Road Dust in Yuncheng

WU Yuan-yuan¹, LI Ru-mei¹, PENG Lin², DUAN Yun^{1*}, WANG Hai-jing¹, LI Ying-hui², BAI Hui-ling¹, MU Ling¹

(1. College of Environmental Science and Engineering, Taiyuan University of Technology, Taiyuan 030024, China; 2. School of Environment and Chemical Engineering, North China Electric Power University, Beijing 102206, China)

Abstract: Samples of particulate sources in Yuncheng including road dust, salt lake dust, coal dust, soil dust, construction, cement dust and vehicle exhaust dust were collected. Elements, ions and carbon species in particulate sources samples were analyzed. Enrichment factors and potential ecological risk assessment were used to analyze the characteristics of road dust, and chemical mass balance model was applied to identify the source of road dust. The results showed that, compared with other cities, the proportions of Na (12.1970%) and SO_4^{2-} (8.5971%) were relatively high while that of Si (9.1123%) was low in road dust in Yuncheng, and enrichment factors showed that the sources of Pb, Cu, Cr, V, As, Ni, Na and Zn in road dust were obviously influenced by human activities; the potential ecological risk of heavy metals in road dust was high, which was affected by anthropogenic sources such as industrial production, the combustion of fossil fuels and vehicle exhaust; the profiles of coal dust, vehicle exhaust dust, construction and cement dust were similar to those of other cities, the Na and SO_4^{2-} concentrations in soil dust were relatively high, and the proportions of Na and SO_4^{2-} in salt lake dust were 30.3% and 22.7% respectively; salt lake dust was the largest contributor (53%) to road dust, followed by the soil dust (21%), vehicle exhaust dust (8%), construction and cement dust (7%), and coal dust (5%). **Key words:** road dust; chemical composition; source profiles; chemical mass balance model; salt lake dust

随着经济发展和城市化进程的加速,我国大气污染的问题日益严峻[1]. 颗粒物是影响我国城市环境空气质量的首要污染物^[2,3]. 颗粒物来源解析是定性和定量识别大气颗粒物来源的重要手段,对于制定有针对性的大气颗粒物污染控制措施、有效改善城市空气质量有重要的意义^[4,5]. 化学质量平衡模型(CMB)是目前广泛使用的颗粒物源解析模型,污染源成分谱是化学质量平衡(CMB)模型的重要输入参数,也是开展受体模型研究的基础资料. 为了使源解析结果更可靠,更符合当地实际,需要对本地源类的化学组成特征进行分析^[6].

道路扬尘是城市大气颗粒物的主要贡献者,它

是各单一尘源类(土壤风沙尘、建筑水泥尘、煤烟尘、机动车尾气尘等)排放的颗粒物的混合物,既可以视为环境空气中颗粒物的排放源类,又可以视为各单一尘源类所排放的颗粒物的受体,其组成特征能够反映城市环境受到人为源影响的程度^[7].本研究采集了运城市道路扬尘及5类单一尘源类样品(盐湖尘、土壤风沙尘、机动车尾气尘、建筑水泥尘

收稿日期: 2016-09-18; 修订日期: 2016-12-13

基金项目: 国家自然科学基金项目(41373008); 国家自然科学基金 青年科学基金项目(41502324); 山西省高等学校科技创 新项目(2015136)

作者简介: 武媛媛(1991~), 女, 硕士研究生, 主要研究方向为大气环境污染, E-mail; wuyuanyuan0692@163.com

* 通信作者,E-mail:duanyun@tyut.edu.cn

和煤烟尘),通过再悬浮的方式分离出其中粒径小于 10 μm 的颗粒物,测定其元素、离子以及碳质组分的含量水平,并用化学质量平衡(CMB)模型解析了道路扬尘的来源,以期为运城市治理道路扬尘污染提供科学依据,同时为运城市大气颗粒物来源解析提供基础数据.

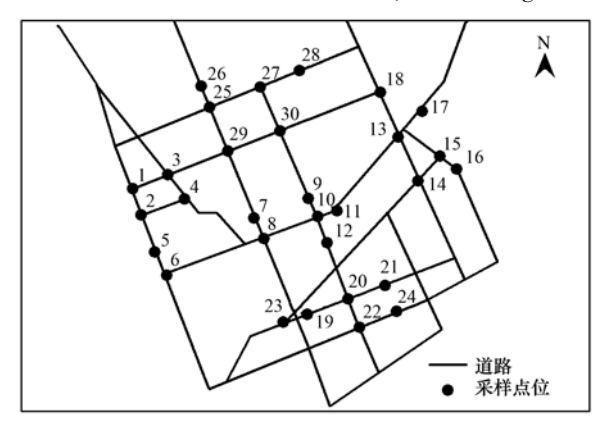
1 材料与方法

1.1 样品采集与处理

本研究于2016年3月采集运城道路扬尘、盐湖尘、土壤风沙尘、煤烟尘、建筑水泥尘、机动车尾气尘共6类样品.

道路扬尘:采样点位分布于运城市区东、西、南、北、中这5个方位.每个方位布设6个采样点位,在市区主要道路(高速公路、主要干道、支路)的十字路口布点,布点周围避免烟尘、工业粉尘、建筑工地等人为污染源的干扰.在每个采样点上,采集路边的马路灰,隔离带、交通警察岗楼、交通指挥台等较长期积累的灰,用毛刷刷入袋内,每袋250g左右,共采集30个样品,样品采集晾干后按照不同方位混样,共得到5个混合样.点位详情见图1.

盐湖尘;这一源类是运城市特殊的颗粒物源类. 运城市盐湖位于运城市区东南方向,是世界三大硫酸钠型内陆盐湖之一,面积达 132 km²,含盐量极高,运城盐湖与运城市区位置见图 2. 在干枯的盐湖滩和盐湖附近的晒盐作业区域布点,共布设 5 个点位. 在每个采样点上,用毛刷扫地表覆盖的盐粒及盐湖干涸的河滩土收集到纸袋中,每袋 250 g 左右,



采样点位 1~6 得到混样 1; 采样点位 7~12 得到混样 2; 采样点位 13~18 得到混样 3; 采样点位 19~24 得到混样 4; 采样点位 25~30 得到混样 5

图1 道路扬尘采样点位示意

Fig. 1 Location of the sampling sites of road dust

共5个样品.

土壤风沙尘:在运城市中心区周边 20 km 范围内的不同距离上和主导风向的不同距离上,按梅花型布设采样点,在每个采样点上,采集地表土 250 g左右,6 个方位(东、西、南、北、中、上风向)共 6个样品.

煤烟尘:选择典型的正常使用的以煤为燃料的生活锅炉(热源锅炉、城中村居民锅炉),工业锅炉(电厂),同时分别采集除尘器下的灰和烟道气中的尘,共13个样品.



图 2 运城盐湖与运城市区位置示意

Fig. 2 Location of Yuncheng salt lake and Yuncheng City

建筑水泥尘:分别采集运城市水泥厂有组织排放尘(1个)、无组织排放尘(1个)及建筑工地无组织排放水泥尘(2个),共4个样品.

机动车尾气尘:通过在机动车排气筒上加装有滤膜的采样器,在道路上运行3h左右,用滤膜收集机动车尾气灰尘,共采集18个样品.

从采样点采集的粉末样品,运回实验室后自然晾干,粉末样品过 150 目 (泰勒标准筛 150 目 = 0.104 mm)的不锈钢筛,按照要求将过筛后的各类样品分别进行混样,使用颗粒物再悬浮采样器,同时用聚丙烯滤膜(Whatman/90 mm)和石英滤膜(Pallflex/90 mm)平行采集粒径 $10 \mu \text{m} \text{以下}(PM_{10})$ 的源样品,具体方法见文献[8].聚丙烯滤膜用作元素分析,石英滤膜用作离子和碳分析.

进行颗粒物再悬浮采样前,聚丙烯滤膜在烘箱60℃条件下烘2h;石英滤膜用锡箔纸包裹,于马弗炉(450℃)灼烧4h,消除滤膜中的杂质和挥发分对称重和分析结果的影响. 滤膜在烘烤后放入恒温恒湿设备箱中平衡24h后用万分之一天平称量,记为G0(平衡条件:温度为(25±1)℃、相对湿度为50%±5%). 采样后的滤膜在同样条件下平衡后称重,记为G1. G1 - G0 即为滤膜上所采集的颗粒物质量.

1.2 样品分析

使用美国热电公司 ICP-9000 (N+M) 型等离子体发射光谱仪分析 17 种无机元素: Na、Mg、Al、Si、K、Ca、Ti、V、Cr、Mn、Fe、Co、Ni、Cu、Zn、As、Pb;采用瑞士万通 861 型离子色谱仪对样品中水溶性离子 Cl^- 、 NO_3^- 、 SO_4^{2-} 、 K^+ 进行定量分析. 详细的样品前处理方法及分析方法参见文献 [9,10].

总碳(TC)和有机碳(OC)的测定使用美国沙漠研究所的 DRI2001A 型碳分析仪,具体分析方法见文献[11].

1.3 富集因子法

富集因子法(enrichment factor, EF)可用于研究元素在道路扬尘中的富集程度,从而识别元素的自然来源(土壤风沙尘)和人为来源[12].选择一种相对浓度稳定的元素 r 作为参比元素,常用的参比元素有 Ti、Fe、Al 和 Si. 计算公式如下:

$$EF_{i} = \frac{\left(\omega_{i}/\omega_{r}\right)_{\text{M\bar{g}}}}{\left(\omega_{i}'/\omega_{r}'\right)_{\text{B\bar{g}}}} \tag{1}$$

式中, EF_i 为化学组分富集因子, ω_i 、 ω_r 分别为道路 扬尘中测量元素 i 和参比元素的质量分数; ω'_i 、 ω'_r 分别为参比系统(土壤背景值)中测量元素 i 和参比元素的质量分数. 若 EF_i < 10, 认为元素相对于参比系统未富集,主要来源为自然源,由土壤岩石风化造成;若 EF_i 在 10~1×10⁴ 范围,认为元素被富集,主要来源为人为源.

1.4 潜在生态风险分析法

潜在生态风险分析是以元素丰度响应为基本条件,即沉积物中金属潜在生态危害指数(RI)与金属污染程度正相关,且多种金属污染的生态危害具有加和性[13,14]. RI 的计算方法如下:

$$\omega_{\rm f}^i = \frac{\omega^i}{\omega^i} \tag{2}$$

$$E_r^i = T_r^i \cdot \omega_r^i \tag{3}$$

$$RI = \sum_{i}^{m} E_{r}^{i} = \sum_{i}^{m} T_{r}^{i} \cdot \boldsymbol{\omega}_{f}^{i} = \sum_{i}^{m} T_{r}^{i} \cdot \frac{\boldsymbol{\omega}^{i}}{\boldsymbol{\omega}_{r}^{i}}$$
 (4)

式中, ω_i^i 为第 i 种重金属的污染系数; ω^i 为样品中第 i 种重金属含量的质量分数实测值, $mg \cdot kg^{-1}$; ω_i^n 为第 i 重金属的质量分数背景值, $mg \cdot kg^{-1}$; E_i^i 为第 i 种重金属的潜在生态风险指数; T_i^i 为第 i 种重金属的毒性系数,反映其毒性水平和生物对其污染的敏感性;RI 为多种重金属的潜在生态风险指数.

1.5 化学质量平衡模型

化学质量平衡(chemical mass balance, CMB)模

型是由一组线性方程构成,表示每种化学组分的受体浓度等于各种排放源类的成分谱中这种化学组分的含量和各种排放源对受体的贡献浓度乘积的线性和,其计算公式^[15, 16]如下:

$$\rho = \sum_{i=1}^{J} S_j \tag{5}$$

$$\rho_i = \sum_{i=1}^{J} (F_{ij} \times S_j)$$
 (6)

式中, ρ 为受体道路扬尘中的总质量浓度测量值, $\mu g \cdot m^{-3}$;j 为源类序号;J 为源类的总数; S_j 为j 种源类贡献的质量浓度, $\mu g \cdot m^{-3}$; ρ_i 为受体道路扬尘中化学组分i 的质量浓度测量值, $\mu g \cdot m^{-3}$; F_{ij} 为j 种源类的受体扬尘中化学组分i 的质量分数, $g \cdot g^{-1}$.

当化学组分总数 $(I) \ge J$ 时,式(6)解为正,才能求得 S_j ; 再根据式(7)求得 j种源类的分担率 $(\eta_i,\%)$

$$\eta_j = \frac{S_j}{\rho} \times 100\% \tag{7}$$

2 结果与讨论

2.1 道路扬尘化学组成特征

2.1.1 道路扬尘化学成分谱

运城市道路扬尘化学成分谱见表 1. 质量分数 大于 10% 的化学组分从大到小依次为: Na > TC; 在 1% ~ 10% 之间的化学组分从大到小依次为: Si > $SO_4^{2^-} > OC > Ca > Fe > Al > K > Mg; 小于 1% 的化学$ $组分从大到小依次为: K⁺ > <math>NO_3^- > Cl^- > Cr > V > Ti$ > Cu > Pb > Zn > Mn > Ni > As > Co. 可以看出,运城 市道路扬尘的化学组成中以地壳类元素 (Na、Si、Ca、Fe、Al、K、Mg等)、碳质组分 (TC、OC)以及 $SO_4^{2^-}$ 为主.

表1还给出了运城市与其他4个城市(上海^[17]、西安^[18]、北京^[19]、西宁^[20])道路扬尘化学成分谱的比较.由表1中数据可知,运城市道路扬尘整体呈现Na和SO²⁻含量高,Si含量相对较低的特征.运城市道路扬尘化学组成中Na的含量明显高于其他4个城市,这可能是由于运城市特有的源类盐湖尘对道路扬尘有较大的贡献,盐湖尘化学组成中的Na含量高,导致道路扬尘中Na含量较高;运城市道路扬尘化学组成中SO²⁻的含量明显高于上海(其余3个城市未测定SO²⁻含量),这是因为运城盐湖是硫酸钠型盐湖,盐湖尘中SO²⁻的含量高,导致道路扬尘中SO²⁻的含量较大;关于盐湖尘的化学组成在2.2节中详细叙述.运城市道路扬尘

Si 含量明显低于其他 4 个城市,这可能是由于盐湖 尘对道路扬尘的贡献比例较大,相应的削弱了土壤 风沙尘(Si 含量较高)对道路扬尘的贡献比例. K、 Ca、Mg、Al、Fe、Zn、Co、Mn 的含量与其他城市相 当,而 Pb、Cu、Ni、Cr、V、TC 的含量较其他城 市高.

富集因子法可以用来研究道路扬尘中的元素受人为源影响的程度,国际上多选用 Al、Fe 或 Si 作为参比元素,Al 化学性质较稳定且是分析精度最高最广泛使用的参比元素^[9,21],故本研究选取 Al 作为参比元素,各元素背景值为山西省 A 层土壤背景(取算数平均值,Si 取泰勒丰度)^[22],根据公式(1),计算运城市道路扬尘富集因子,结果见图 3. 从中可知,道路扬尘中富集因子小于 10 的元素有 Ti、Si、Mn、Co、Ca、Mg、K、Fe,认为这些元素没有受到人为源的影响;富集因子在 10~1×10⁴ 范围的元素从大到小排序为:Pb>Cu>Cr>V>As>Ni>Na>Zn,认为这些元素的来源明显受到人为活动的影响。富集因子大于10的元素中,Pb是燃煤或燃油飞灰的

典型元素,Cr 主要来源于煤及石油气的燃烧废气以及各种工业制造^[23],V 的主要人为来源是煤、石油等燃料的燃烧^[24],As 主要来源于有色金属冶炼及煤炭燃烧^[25,26],Ni 主要来源于燃煤、冶炼和柴油车废气^[23],可见道路扬尘中富集的这些污染元素与各种工业生产、燃料燃烧、机动车尾气排放等有关.而 Na 也是富集因子大于 10 的元素,结合运城当地实际,道路扬尘中 Na 的富集可能是受盐湖尘的影响.

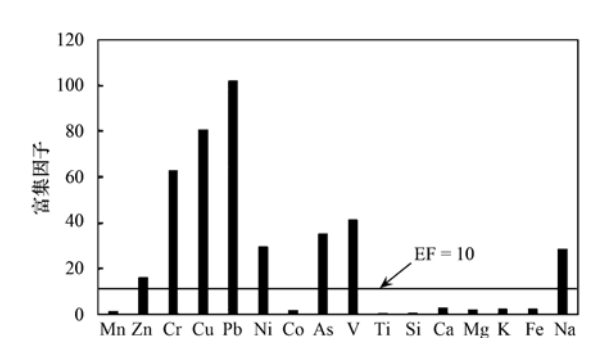


图 3 运城市道路扬尘中元素的富集因子

Fig. 3 Enrichment factors of elements in road dust in Yuncheng City

表 1 运城市道路扬尘化学成分谱与其他城市的比较/%

Table 1	Source	profiles of	of road	dust	in '	Yuncheng	City	and	four	other	cities/%

项目	运城	上海	西安	北京	西宁
Na	12. 197 0 ± 0. 441 1	0. 785 6	1. 392 1	2. 257 6	1. 180 0
Mg	1.0645 ± 0.3706	0. 889 3	1. 341 7	1. 119 9	1. 560 0
Al	2.2123 ± 0.9655	2. 460 6	4. 733 4	3. 986 0	4. 990 0
Si	9. 112 3 \pm 1. 023 2	18. 285	21. 114 0	_	24. 870 0
K	1.6475 ± 0.1702	0. 846 4	1. 443 1	_	1. 400 0
Ca	4.8652 ± 2.9015	5. 772 2	6. 601 1	5. 236 1	6. 690 0
Ti	0.0976 ± 0.1071	_	_	_	_
\mathbf{V}	0.0989 ± 0.0572	0. 005 4	0.0058	_	0.0080
\mathbf{Cr}	0.1353 ± 0.0940	0. 009 5	0. 009 6	_	0. 020 0
Mn	0.0338 ± 0.0104	0. 079 3	0. 050 1	0. 055 6	0. 050 0
Fe	2.6040 ± 1.5407	2. 345 8	3. 099 0	2. 968 3	2. 780 0
Co	0.0007 ± 0.0004	0.001	0. 001 0	0. 001 6	_
Ni	0.0332 ± 0.0155	0. 002 5	0. 002 9	0. 007 2	0.0050
Cu	0.0757 ± 0.0377	0.0063	0. 007 4	0. 004 3	_
Zn	0.0434 ± 0.0033	0. 017 3	0. 030 1	0.0163	0. 020 0
As	0.0121 ± 0.0681	_	_	_	_
Pb	0.0562 ± 0.3221	0. 007 4	0. 010 4	0. 012 6	0. 010 0
TC	10. 173 9 \pm 1. 322 5	2. 002	_	_	_
OC	6.2335 ± 0.9366	1. 293	_	_	_
Cl -	0.2752 ± 0.0955	_	_	_	_
NO_3^-	0.2037 ± 0.0254	0. 146 7	_	_	_
SO ₄ -	8. 597 1 ± 1. 233 2	0. 073 2	_	_	_
K +	0.6544 ± 0.2111	_	_	_	_

2.1.2 道路扬尘中重金属的潜在生态风险

根据 Hakanson 的研究^[14],潜在生态风险评价指标分级见表 2. 本研究对 8 种重金属 Mn、Zn、Cr、

Cu、Pb、Ni、Co、As 进行潜在生态风险特征评价, 其毒性系数分别为1、1、2、5、5、5、5、10,元素背 景值取山西省 A 层土壤背景(算数平均值)^[22]. 根 据公式(2)~(4)计算运城市道路扬尘重金属潜在 生态风险指数,结果见表3.

表 2 潜在生态风险评价指标分级

Table 2 Classification criteria of the potential ecological risk index

$E_{ m r}^i$	单因子生态风险指数	RI	总的潜在生态风险指数
< 40	轻微	< 150	轻微
40 ~80	中等	$150 \sim 300$	中等
80 ~ 160	较强	$300 \sim 600$	强
160 ~ 320	强	>600	极强
> 320	极强		

对照表 3 可知,在道路扬尘中,Pb 的潜在生态风险程度为强,As、Cu 的潜在生态风险程度较强,Ni、Cr 的潜在生态风险程度为中,Mn、Zn、Co 的潜在风险程度为轻微.运城市道路扬尘多种重金属总的潜在生态风险指数为 547.6,潜在的生态风险为强.这些重金属元素大多来源于工业生产、化石燃料的燃烧、机动车排放等人为源,表明这些人为源是影响道路扬尘中重金属的生态风险的重要因素.

表 3 运城市道路扬尘重金属潜在生态风险指数

Table 3 Potential ecological risk index of heavy metals in road dust of Yuncheng City

项目	Mn	Zn	Cr	Cu	Pb	Ni	Co	As	总潜在生态风险指数 RI
背景值 $C_{\rm n}^i/{\rm mg\cdot kg^{-1}}$	554. 0	75. 5	61.8	26. 9	15. 8	32. 0	9. 9	9.8	
毒性系数 Tr	1	1	2	5	5	5	5	10	_
单因子潜在生态风险指数 $E_{\rm r}^i$	0.6	5.7	43.8	140. 7	177.8	51.9	3.5	123.5	547. 6

2.2 各单一尘源成分谱

运城市盐湖尘、土壤风沙尘、机动车尾气尘、 建筑水泥尘、煤烟尘的成分谱见图 4.

从图 4 可以看出,煤烟尘中大于 10% 的组分为 Al、Si、Ca、TC;建筑水泥尘中大于 10% 的组分为 Si、Ca、TC,其中 Ca 质量分数最高,达到23.726 2%;机动 车尾气尘中 TC 质量分数高达89.871 2%;土壤风沙尘中大于 10% 的组分为 Na、Si、TC,其中 Si 质量分数最高,达到18.300 5%. 运城市煤烟尘、建筑水泥尘和机动车尾气尘与长治^[27]、太原^[28]、重庆^[29]、宁波^[30]等地的颗粒物源成分谱相似,而土壤风沙尘中 Na 和 SO₄²⁻ 质量分数相对较高. 盐湖尘是运城市特有的一种颗粒物源类,运城盐湖是硫酸钠型内陆盐湖,盐湖尘中 Na、SO₄²⁻ 含量高,分别为30.3%、22.7%,含有少量的地壳元素(Mg、Al、Si、Ca)、碳质组分(TC)、离子组分(Cl⁻、NO₃⁻、K⁺).

源的特征元素也称为标识元素,是某源类的排

放特征区别于其它源类的重要标志. 某一源类成分 谱中有些元素对源贡献值和对贡献值的标准偏差影 响的程度不一样,影响大的表示该元素的灵敏度高, 影响小的表示灵敏度低. 特征元素指那些灵敏度最 高的元素. 在 CMB 模型的算法当中, 灵敏度 (modified pseudo-inverse matrix, MPIN) 矩阵是反映 元素对 CMB 模型模拟灵敏程度的矩阵,该矩阵提 供了判定源特征元素的方法[6]. 表 4 是运城市主要 源类的 MPIN 矩阵,其中 MPIN 绝对值为 1 的元素即 为灵敏元素,也就是相应源的特征元素. 由表 4 可 知, Al 是运城煤烟尘的特征元素, Si 是运城土壤风 沙尘的特征,Ca 是运城建筑水泥尘的特征元素,TC 是运城机动车尾气尘的特征元素,Na 是运城盐湖尘 的特征元素. Al、Si、Ca、TC、Na 等元素在道路扬 尘中含量较高,说明煤烟尘、土壤风沙尘、建筑水 泥尘、机动车尾气尘、盐湖尘是影响运城市道路扬 尘的重要因素.

表 4 运城市主要颗粒物源类 MPIN 灵敏度矩阵

Table 4 MPIN sensitivity matrix of main particulate matter of Yuncheng City

源类组分	煤烟尘	土壤风沙尘	建筑水泥尘	机动车尾气尘	盐湖尘
Na	-0.03	-0.11	-0.20	-0.20	1. 00
Al	1.00	-0.14	-0.25	-0.14	0. 19
Si	-0.21	1.00	-0.02	0.30	-0.78
Ca	-0.38	-0.37	1.00	-0.09	-0.17
TC	-0.02	-0.02	-0.01	1.00	0. 01

2.3 道路扬尘来源解析

拟定受体道路扬尘中各化学组分的总质量浓度为 $1 \mu g \cdot m^{-3}$,根据表 1 计算得到道路扬尘中化学组分 i的质量浓度 ρ_i ,将 ρ_i 与 F_{ii} 输入南开大学

CMB2. 0 模型,同时为了诊断 CMB 模型的拟合优度,还需输入受体道路扬尘化学组分浓度谱的标准偏差 σ_{ρ_i} 以及源成分含量谱的标准偏差 $\sigma_{F_{ij}}$. 选取 Al、Si、Ca、TC、OC、Na、Mn、Fe、Zn、Cu 共 10 种

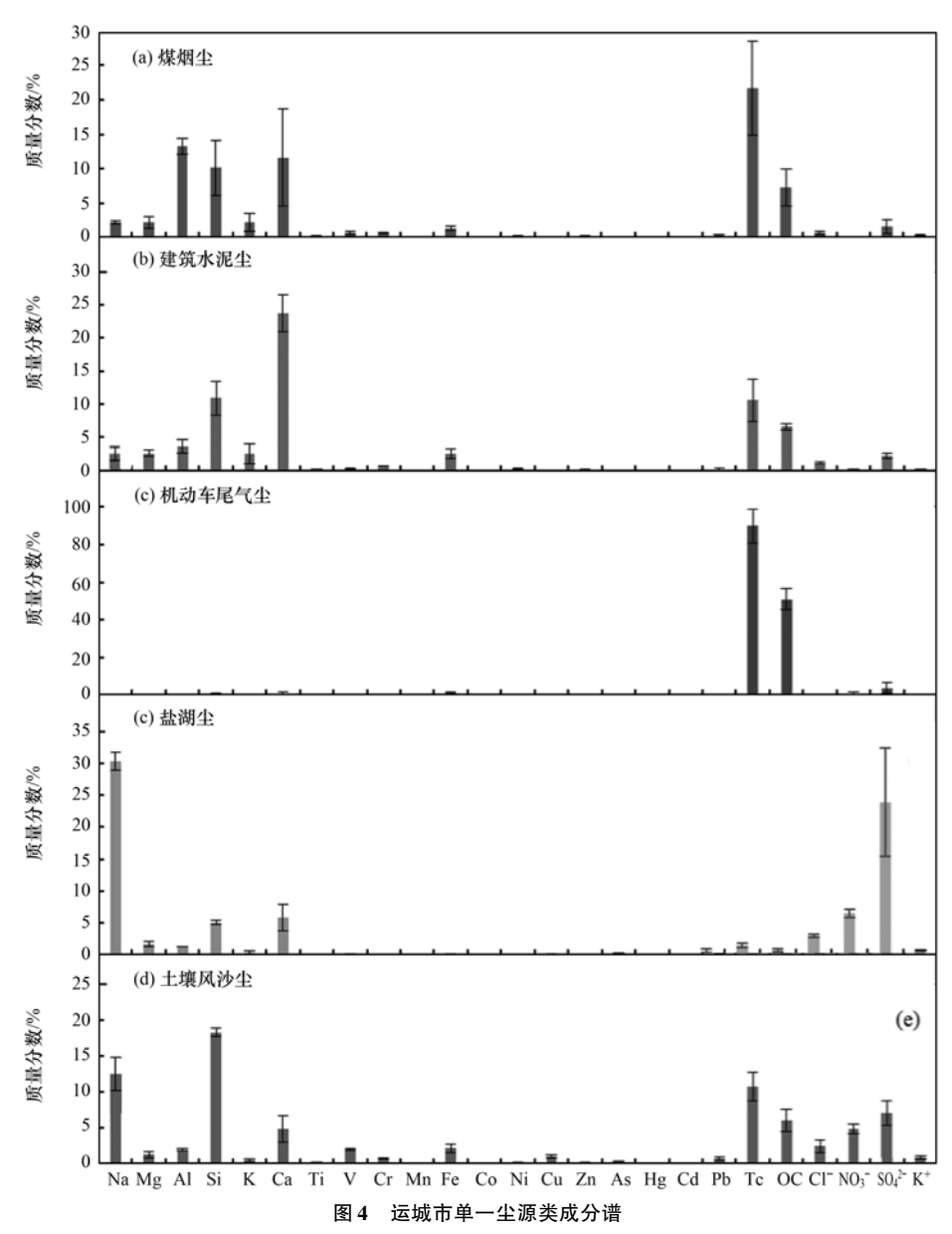


Fig. 4 Source profiles of particulate matters in Yuncheng City

元素参与计算,源解析结果见表 5. 在 CMB 模型的 拟合优度诊断中,回归系数(R^2)等于化学组分浓度 计算值的方差与测量值的方差之比,该值越接近 1,说明源贡献值的计算值与测量值拟合得越好,本次源解析计算的回归系数(R^2)为 0. 91,可见本次模型 拟合结果较好.

表 5 各单一源类对运城市道路扬尘的分担率

Table 5 Source apportionment of road dust in Yuncheng City

	8 ,
源类	分担率/%
土壤风沙尘	21
盐湖尘	53
机动车尾气尘	8
建筑水泥尘	7
煤烟尘	5
合计	94

从表 5 可知,盐湖尘对道路扬尘分担率最高,达到 53%,其次是土壤风沙尘(21%)、机动车尾气尘(8%)、建筑水泥尘(7%)、煤烟尘(5%).盐湖尘是运城市特有的一种颗粒物源类.运城市盐湖位于运城市区东南方向,其面积达 132 km²(见图 2).湖内盐田硝畦纵横如织,有大量堆积的芒硝,仅小部分进行了围挡或遮蔽,裸露的盐湖滩表面鲜有植被生长,未遮蔽的盐丘和裸露的盐湖滩在一定的动力(风力、机动车行驶等)扰动下,表层颗粒物被扬起而进入大气环境并扩散一定距离,且盐湖位于市区常年主导风向东南风(SE)的上风向,对市区道路扬尘及大气颗粒物影响很大.

3 结论

- (1) 运城市道路扬尘质量分数大于 10% 的化学组分为: Na 和 TC; 在 $1\% \sim 10\%$ 之间的化学组分从大到小依次为: Si $> SO_4^{2^-} > OC > Ca > Fe > Al > K$ > Mg; 小于 <math>1% 的化学组分从大到小依次为: K $^+ > NO_3^- > Cl^- > Cr > V > Ti > Cu > Pb > Zn > Mn > Ni > As > Co, 与其他城市相比, 运城市道路扬尘化学组成的主要特征是 Na、<math>SO_4^{2^-}$ 含量高而 Si 含量相对较低.
- (2) 运城市道路扬尘重金属潜在生态风险指数为 547.6,潜在的生态风险为强,单因子生态风险指数为中等以上的 Cr、Ni、As、Cu、Pb 等元素主要来源于工业生产、化石燃料燃烧、机动车排放等人为源.
- (3) 运城市大气颗粒物单一尘源的化学成分谱的测定结果表明,运城市特有的盐湖尘的主要组分是 Na (30.3%)和 SO_4^{2-} (22.7%);煤烟尘、建筑水泥尘和机动车尾气尘的化学组成与其他城市相似,土壤风沙尘中 Na 和 SO_4^{2-} 含量与其他城市比相对较高.
- (4)根据化学质量平衡原理,采用化学质量平衡模型计算各单一尘源对道路扬尘的分担率. 盐湖尘对道路扬尘贡献最大(53%),其次是土壤风沙尘(21%),机动车尾气尘(8%)、建筑水泥尘(7%)和煤烟尘(5%)的贡献几乎相当.
- (5)盐湖尘是运城市特有的颗粒物源类,不仅 对道路扬尘贡献很大,也是大气颗粒物的重要来源, 在进行颗粒物源解析工作时,应建立本地化的源成 分谱,以提高源解析工作的可靠性.

参考文献:

[1] 平措. 我国城市大气污染现状及综合防治对策[J]. 环境科学与管理, 2006, **31**(1): 18-21.
Ping C. Status and comprehensive control countermeasures of urban air pollution in China [J]. Environmental Science and

Management, 2006, 31(1): 18-21.

- [2] 游燕, 白志鹏. 大气颗粒物暴露与健康效应研究进展[J]. 生态毒理学报, 2012, **7**(2): 123-132.

 You Y, Bai Z P. Research advances in exposure to ambient particulate matter and health effects [J]. Asian Journal of Ecotoxicology, 2012, **7**(2): 123-132.
- [3] Cao J J, Shen Z X, Chow J C, et al. Winter and summer PM_{2.5} chemical compositions in fourteen Chinese cities [J]. Journal of the Air & Waste Management Association, 2012, 62 (10): 1214-1226.
- [4] 冯银厂, 白志鹏, 朱坦. 大气颗粒物二重源解析技术原理与应用[J]. 环境科学, 2002, **23**(S): 106-108. Feng Y C, Bai Z P, Zhu T. The principle and application of

- improved-source-apportionment technique of atmospheric particulate matter [J]. Environmental Science, 2002, 23(S): 106-108.
- [5] 贺泓, 王新明, 王跃思, 等. 大气灰霾追因与控制[J]. 中国科学院院刊, 2013, **28**(3): 344-352.

 He H, Wang X M, Wang Y S, *et al.* Formation mechanism and control strategies of haze in China [J]. Bulletin of Chinese Academy of Sciences, 2013, **28**(3): 344-352.
- [6] 孙敬敏. 污染源成分谱分析及 CMB 应用研究[D]. 兰州: 兰州大学, 2011.

 Sun J M. Study on source profiles and the application of CMB model[D]. Lanzhou: Lanzhou University, 2011.
- [7] Sutherland R A, Tolosa C A. Multi-element analysis of road-deposited sediment in an urban drainage basin, Honolulu, Hawaii [J]. Environmental Pollution, 2000, 110(3): 483-495.
- [8] Zhao P S, Feng Y C, Zhu T, et al. Characterizations of resuspended dust in six cities of North China [J]. Atmospheric Environment, 2006, 40(30): 5807-5814.
- [9] 王燕,彭林,李丽娟,等. 晋城城市扬尘化学组成特征及来源解析[J]. 环境科学, 2016, **37**(1): 82-87.

 Wang Y, Peng L, Li L J, *et al.* Chemical composition and source apportionment of re-suspended dust in Jincheng [J]. Environmental Science, 2016, **37**(1): 82-87.
- [10] 刘凤娴,彭林,牟玲,等. 忻州市市区大气颗粒物中的元素组成特征[J]. 环境化学,2014,33(2):313-320. Liu F X, Peng L, Mu L, et al. Characteristic of elements in atmospheric particulate matters in air of Xinzhou City [J]. Environmental Chemistry, 2014,33(2):313-320.
- [11] Wu L, Feng Y C, Wu J H, et al. Secondary organic carbon quantification and source apportionment of PM₁₀ in Kaifeng, China[J]. Journal of Environmental Sciences, 2009, 21(10): 1353-1362.
- [12] 李丽娟, 温彦平, 彭林, 等. 太原市采暖季 PM_{2.5} 中元素特征及重金属健康风险评价 [J]. 环境科学, 2014, 35 (12): 4431-4438.

 Li L J, Wen Y P, Peng L, et al. Characteristic of elements in PM_{2.5} and health risk assessment of heavy metals during heating season in Taiyuan [J]. Environmental Science, 2014, 35 (12): 4431-4438
- [13] 林海鹏, 武晓燕, 战景明, 等. 兰州市某城区冬夏季大气颗粒物及重金属的污染特征[J]. 中国环境科学, 2012, **32** (5): 810-815.

 Lin H P, Wu X Y, Zhan J M, et al. Analysis of atmospheric particles and heavy metals character at the area of Lanzhou City in summer and winter[J]. China Environmental Science, 2012, **32**
- [14] Hakanson L. An ecological risk index for aquatic pollution control. a sedimentological approach [J]. Water Research, 1980, 14(8): 975-1001.

 $(5) \cdot 810 - 815$.

- [15] Sharma V K, Patil R S. Chemical mass balance model for source apportionment of aerosols in Bombay [J]. Environmental Monitoring and Assessment, 1994, 29(1): 75-88.
- [16] Sattler M L, Liljestrand H M. Chemical mass balance model with fractionation for apportioning PM_{2.5}: a test case for Los Angeles traffic sources [J]. Journal of the Air & Waste Management Association, 2005, 55(9): 1335-1344.
- [17] 陈筱佳,程金平,江璇,等.上海市中心城区主干道道路扬

- 尘组分特征及来源解析[J]. 环境污染与防治, 2015, 37 (6): 10-13.
- Chen X J, Cheng J P, Jiang X, et al. Study on the chemical compositions characteristics and source apportionment on road dust of main roads in Shanghai central district[J]. Environmental Pollution & Control, 2015, 37(6): 10-13.
- [18] 唐艳荣, 吴枫, 曹军骥, 等. 西安道路尘中元素分布特征及 其来源分析[J]. 环境污染与防治, 2010, **32**(12): 22-30. Tang Y R, Wu F, Cao J J, *et al.* Distribution characteristics and source analysis of road dust in Xi'an[J]. Environmental Pollution & Control, 2010, **32**(12): 22-30.
- [19] 韩力慧,庄国顺,程水源,等. 北京地面扬尘的理化特性及 其对大气颗粒物污染的影响[J]. 环境科学,2009,30(1):
 1-8.
 Han L H, Zhuang G S, Cheng S Y, et al. Characteristics of re-
 - Han L H, Zhuang G S, Cheng S Y, et al. Characteristics of resuspended road dust and its significant effect on the airborne particulate pollution in Beijing [J]. Environmental Science, 2009, 30(1): 1-8.
- [20] 王伟. 西宁市市区环境空气中总悬浮颗粒物来源解析[J]. 青海大学学报(自然科学版), 2004, **22**(5): 65-68, 74. Wang W. Source analysis of TSP in urban atmosphere of Xining [J]. Journal of Qinghai University, 2004, **22**(5): 65-68, 74.
- [21] 姬亚芹, 朱坦, 冯银厂, 等. 用富集因子法评价我国城市土壤风沙尘元素的污染[J]. 南开大学学报(自然科学版), 2006, **39**(2): 94-99.

 Ji Y Q, Zhu T, Feng Y C, *et al*. Application of the enrichment factor to analyze the pollution of elements in soil dust in China [J]. Acta Scientiarum Naturalium Universitatis Nankaiensis, 2006, **39**(2): 94-99.
- [22] 中国环境监测总站.中国土壤元素背景值[M].北京:中国 环境科学出版社,1990.
- [23] 谭吉华, 段菁春. 中国大气颗粒物重金属污染、来源及控制建议[J]. 中国科学院大学学报, 2013, **30**(2): 145-155.

 Tan J H, Duan J C. Heavy metals in aerosol in China: pollution, sources, and control strategies [J]. Journal of Graduate University of Chinese Academy of Sciences, 2013, **30**(2): 145-

- 155.
- [24] Wang G, Oldfield F, Xia D S, et al. Magnetic properties and correlation with heavy metals in urban street dust; a case study from the city of Lanzhou, China[J]. Atmospheric Environment, 2012, 46: 289-298.
- [25] Nriagu J O, Pacyna J M. Quantitative assessment of worldwide contamination of air, water and soils by trace metals[J]. Nature, 1988, 333(6169): 134-139.
- [26] Thomaidis N S, Bakeas E B, Siskos P A. Characterization of lead, cadmium, arsenic and nickel in PM_{2.5} particles in the Athens atmosphere, Greece [J]. Chemosphere, 2003, 52(6): 959-966
- [27] 张建强, 牟玲, 白慧玲, 等. 长治市大气环境中可吸人颗粒物来源研究[J]. 山西大学学报(自然科学版), 2012, **35** (4): 737-742.

 Zhang J Q, Mu L, Bai H L, *et al.* Study on source appointment of PM₁₀ in air environment of Changzhi, Shanxi[J]. Journal of Shanxi University (Natural Science Edition), 2012, **35** (4):
- [28] 吴建会,朱坦,冯银厂,等. 太原市环境空气中 TSP 和 PM₁₀ 来源解析[J]. 城市环境与城市生态,2008,**21**(4):40-42. Wu J H, Zhu T, Feng Y C, *et al.* Analytic studies on source of TSP and PM₁₀ in environmental air of Taiyuan City[J]. Urban Environment & Urban Ecology, 2008, **21**(4):40-42.
- [29] 任丽红, 周志恩, 赵雪艳, 等. 重庆主城区大气 PM₁₀及 PM_{2.5}来源解析[J]. 环境科学研究, 2014, **27**(12): 1387-1394.
 - Ren L H, Zhou Z E, Zhao X Y, *et al.* Source apportionment of PM₁₀ and PM_{2.5} in urban areas of Chongqing[J]. Research of Environmental Sciences, 2014, **27**(12): 1387-1394.
- [30] 肖致美, 毕晓辉, 冯银厂, 等. 宁波市环境空气中 PM₁₀和 PM_{2.5}来源解析 [J]. 环境科学研究, 2012, **25**(5): 549-555.
 - Xiao Z M, Bi X H, Feng Y C, et al. Source apportionment of ambient PM₁₀ and PM_{2.5} in urban area of Ningbo[J]. Research of Environmental Sciences, 2012, **25**(5): 549-555.

Vol. 38 No. 5 May 15, 2017

CONTENTS

imating the Secondary Organic Aerosol Concentration and Source Apportionment During the Summer and Winter in the Na	aniing Industrial District ·····
The state of the s	LIU Jing-da, AN Jun-lin, ZHANG Yu-xin, et al. (1
deled Deposition of Fine Particles in Human Airway in Northern Suburb of Nanjing	LIANG Jing-shu, AN Jun-lin, WANG Hong-lei, et al. (1
ncentration Characteristics and Influencing Factors of Atmospheric Particulate Matters in Spring on Weizhou Island, Beiha	ii. Guangxi Province
	GAO Yuan-guan, ZHANG Kai, WANG Ti-jian, et al. (1
ycyclic Aromatic Hydrocarbons in the Atmosphere of Dajiuhu, Shennongjia, China	JIN Meng-yun, XING Xin-li, KE Yan-ping, et al. (1
atial Distribution Characteristics of NMHCs in Spring in Cangzhou City	
ussion Characteristics of Residential Coal Combustion Flue Gas in Beijing	
sission Characteristics and Ozone Formation Potential of VOCs from a Municipal Solid Waste Composting Plant	
gradation Characteristics of Composite CVOCs by Non-thermal Plasma	
mical Compositions and Source Apportionment of Road Dust in Yuncheng	
lution Risk of Heavy Metals in Dust from the Building Along Elevated Road; A Case Study in Changzhou	
union risk of Freavy metals in Dust from the bullioning Along Elevated Road; A case Study in Changzhou tracteristics of Stable Isotope in Precipitation and Its Relationship with ENSO in Shanghai	
recteristics of Stable Isotope in Frecipitation and its relationship with EASO in Shanghai ets of DOC + CDPF on Emission Characteristics of Heavy-duty Diesel Vehicle	
umulated Health Risk Assessment of Arsenic in Drinking Water of Major Cities of China	
alth Risk Assessment of Microcystins from Drinking Water Source by Monte Carlo Simulation Method	
ential Risk and Distribution Characteristics of PPCPs in Surface Water and Sediment from Rivers and Lakes in Beijing, C	China
, , ,	
essment of the Spatial-temporal Distribution Characteristics and Main Affecting Factors of Chromophoric Dissolved Organic	c Matter in Spring and Summer at the Changjiang Estuary and
Adjacent Areas	SUN Yu-yan, BAI Ying, SU Rong-guo, et al. (1
nplexation Between Copper(II) and Colored Dissolved Organic Matter from Municipal Solid Waste Landfill	XIAO Xiao, HE Xiao-song, GAO Ru-tai, et al. (1
ects of Three Bioretention Configurations on Dissolved Nitrogen Removal from Urban Stormwater	
uence of Spatial Pattern of Paddy Field on the Losses of Nitrogen and Phosphorus in Three Gorges Reservoir Area	····· CHEN Cheng-long, GAO Ming, NI Jiu-pai, et al. (1
cts of NO3 -N Loading on the Early-Period Efficiency of Denitrification and Carbon Releasing in Constructed Wetland Fil	
cts of Microbial Fuel Cell Coupled Constructed Wetland with Different Support Matrix and Cathode Areas on the Degrada	ation of Azo Dye and Electricity Production
	LI Xue-xiao, CHENG Si-chao, FANG Zhou, et al. (1
cts of Anode Materials on Electricity Generation and Organic Wastewater Treatment of 6 L Microbial Fuel Cells	
cts of Joint-reaction Combined by Ozonation and Coagulation on Aquatic Organic Matters	
infection Action of Ultraviolet Radiation and Chlorination on Escherichia coli and Poliovirus	
orption of Phosphate from Aqueous Solution on Hydrous Zirconium Oxides Precipitated at Different pH Values	
formance of Polymer-based Titanium and Zirconium Oxides Composite Adsorbent for Simultaneous Removal of Phosphorus	
or a symmetric state of the sta	······ CHEN lia-kai NIE Guang-ze LIII Zhi-ving <i>et al.</i> (1
ect of Different Adding Means of Ignited Water Purification Sludge on Phosphorus Adsorption and Forms	
w of Pollutant Erosion and Deposition in Urban Sewage Network	
e of Eleven Phthalic Acid Esters in Aerobic Sewage Treatment System	
aracteristics of Denitrification Inhibiting Sulfate Reducing Process	
aracteristics of Demitringation Inhibiting Sulfate Reducing Process	JIN Peng-kang, YANG Zhen-rui, Li Rong, et al. (1
hanced Short-cut Denitrification by Fe (0) -activated Carbon and Its Influencing Factors	
nparison of Operating Performance of Partial Nitritation Systems with Two Different Inhibition Strategies	
ect of Substrate Ratio on Nitrogen Removal Performance of ANAMMOX in ABR	
ects of Temperature on the Characteristics of Nitrogen and Phosphorus Removal and Microbial Community in SCSC-S/Fe \cdot	
alysis on Performance and Microbial Community Dynamics of a Strengthen Circulation Anaerobic Reactor Treating Municip	
obic Degradation Characteristics of the Quinoline-Degrading strain Ochrobactrum sp. and Its Bioaugmentation in Coking V	Wastewater · · · · · · · · · · · · · · · · · · ·
ganese Oxidation Characteristics and Oxidation Mechanism of a Manganese-Oxidizing Bacterium Arthrobacter sp. HW-16	5 ······ WAN Wen-jie, XUE Zhi-jun, ZHANG Ze-wen, et al. (2
ct of Temperature on Nitrogen Removal Performance of Marine Anaerobic Ammonium Oxidizing Bacteria	
ogen Removal Performance and Microbial Community Analysis of Activated Sludge Immobilization	XU Xiao-yi, YOU Xiao-lu, LÜ Chen-pei, et al. (2
robial Structure of an Enhanced Two-phase High-solid Anaerobic Digestion System Treating Sludge	
parative Studies on Soil Actinobacterial Biodiversity After Re-vegetation in the Urban and Rural Hydro-fluctuation Zone of	
parative outlier of our removational Boursessy Through the regulation in the Colonia and Visite Types Turning	
ous Oxide Emissions and Its Influencing Factors from an Agricultural Headwater Ditch During a Maize Season in the Hill-	
ous oxide Emissions and its inhadreing ractors from an Agricultural redunater Dich During a marze ecason in the firm	TIAN Lin-lin ZHII Ro WANG Tao et al. (2)
ct of Dicyandiamide on N ₂ O Emission in Fallow Paddy Field and Rape Cropping	
racteristics of Biochar-mediated N ₂ O Emissions from Soils of Different Surface Conditions	
racteristics of Soil Respiration and Soil Organic Carbon in Fava Bean Farmland Under Ridge Tillage and Straw Mulching	IN SOUTHWEST CHINA
	······ AIUNG Ying, WANG Long-chang, DU Juan, et al. (2
	CHAIR CHO DIV CANCER
diction of Distribution of Soil Cd Concentrations in Guangdong Province, China	
diction of Distribution of Soil Cd Concentrations in Guangdong Province , China tial Distribution and Potential Ecological Risk Assessment of Heavy Metals in Sediments of Suya Lake	ZHANG Peng-yan, KANG Guo-hua, PANG Bo, et al. (2
diction of Distribution of Soil Cd Concentrations in Guangdong Province, China tial Distribution and Potential Ecological Risk Assessment of Heavy Metals in Sediments of Suya Lake cets of the Active Components of Humic Acids and Their Proportions on the Dynamics of Lead Transformation and Availab	ZHANG Peng-yan, KANG Guo-hua, PANG Bo, et al. (2
diction of Distribution of Soil Cd Concentrations in Guangdong Province, China tial Distribution and Potential Ecological Risk Assessment of Heavy Metals in Sediments of Suya Lake ects of the Active Components of Humic Acids and Their Proportions on the Dynamics of Lead Transformation and Availab	
diction of Distribution of Soil Cd Concentrations in Guangdong Province, China tial Distribution and Potential Ecological Risk Assessment of Heavy Metals in Sediments of Suya Lake ects of the Active Components of Humic Acids and Their Proportions on the Dynamics of Lead Transformation and Availab cichment Characteristics of Heavy Metals in Particulate Organic Matter of Purple Paddy Soil	
diction of Distribution of Soil Cd Concentrations in Guangdong Province, China tial Distribution and Potential Ecological Risk Assessment of Heavy Metals in Sediments of Suya Lake ects of the Active Components of Humic Acids and Their Proportions on the Dynamics of Lead Transformation and Availah cichment Characteristics of Heavy Metals in Particulate Organic Matter of Purple Paddy Soil	
diction of Distribution of Soil Cd Concentrations in Guangdong Province, China tial Distribution and Potential Ecological Risk Assessment of Heavy Metals in Sediments of Suya Lake ects of the Active Components of Humic Acids and Their Proportions on the Dynamics of Lead Transformation and Availab richment Characteristics of Heavy Metals in Particulate Organic Matter of Purple Paddy Soil nanced Sorption of Cetirizine to Loessial Soil Amended with Biochar	
ediction of Distribution of Soil Cd Concentrations in Guangdong Province, China atial Distribution and Potential Ecological Risk Assessment of Heavy Metals in Sediments of Suya Lake ects of the Active Components of Humic Acids and Their Proportions on the Dynamics of Lead Transformation and Availab	